

doi: 10.13241/j.cnki.pmb.2019.17.030

动态对比增强磁共振成像在鼻咽癌分期中的应用价值 *

白琛 唐芳 张志 刘亚斌 胡富碧

(成都医学院第一附属医院影像科 四川 成都 610500)

摘要 目的:分析动态对比增强磁共振成像(DCE-MRI)在鼻咽癌分期中的应用价值。**方法:**选取2016年6月至2018年4月我院经病理证实的初诊鼻咽癌患者104例为研究对象,均行DCE及扩散加权成像(DWI)检查,比较不同鼻咽癌分期患者的DCE-MRI定量参数[转运常数(Ktrans)、血管外细胞外间隙体积百分数(Ve)、速率常数(Kep)、容积分数(fPV)]及表观扩散系数(ADC)值,分析各DCE-MRI参数与临床分期的相关性,并评估DCE-MRI对鼻咽癌分期的诊断价值。**结果:**随总分期增加,鼻咽癌患者Ktrans、Ve增加,且Ve随T分期增加而增加,M1分期者Ktrans、Ve大于M0分期者($P<0.05$),不同N分期患者各DCE-MRI参数比较差异无统计学意义($P>0.05$),Kep、fPV在各分期中比较差异也无统计学意义($P>0.05$);随总分期增加,鼻咽癌患者ADC值减少($P<0.05$);Spearman相关分析发现,鼻咽癌患者Ktrans与总分期、M分期呈正相关,Ve与总分期、T分期呈正相关,ADC值与总分期呈负相关($P<0.05$);各参数中,Ktrans诊断鼻咽癌总分期的曲线下面积(AUC)最大,为0.925,Ktrans诊断鼻咽癌早期(II期)、晚期(III期与IV期)的AUC分别为0.909、0.921,均较ADC(AUC=0.864、0.815)高。**结论:**DCE-MRI在鼻咽癌临床分期中有较高应用价值,其中Ktrans的诊断效能最好且高于DWI诊断,肿瘤分期越高,Ktrans越大,可作为肿瘤分期的一个指标。

关键词:动态对比增强磁共振成像;鼻咽癌;分期;应用价值

中图分类号:R739.6;R445.2 文献标识码:A 文章编号:1673-6273(2019)17-3342-05

Application Value of Dynamic Contrast-enhanced Magnetic Resonance Imaging in Staging of Nasopharyngeal Carcinoma*

BAI Chen, TANG Fang, ZHANG Zhi, LIU Ya-bin, HU Fu-bi

(Department of Imaging, The First Affiliated Hospital of Chengdu Medical College, Chengdu, Sichuan, 610500, China)

ABSTRACT Objective: To analyze the application value of dynamic contrast-enhanced magnetic resonance imaging (DCE-MRI) in staging of nasopharyngeal carcinoma. **Methods:** 104 patients with newly diagnosed nasopharyngeal carcinoma confirmed by pathology in our hospital from June 2016 to April 2018 were chosen in the study. All patients were given DCE and diffusion-weighted imaging (DWI), the DCE-MRI quantitative parameters of nasopharyngeal carcinoma patients at different stages[transport constant (Ktrans), extravascular extracellular space volume percentage (Ve), rate constant (Kep), volume fraction (fPV)] and apparent diffusion coefficient (ADC) values were compared, the relationship between each DCE-MRI parameter and the clinical staging was analyzed, the diagnostic value of DCE-MRI for stage of nasopharyngeal carcinoma was evaluated. **Results:** With the increase of total stage, Ktrans and Ve increased in patients with nasopharyngeal carcinoma, Ve increased with the increase of T stage. Ktrans and Ve in patients at M1 stage were greater than those at M0 stage ($P<0.05$). There was no significant difference in every DCE-MRI parameters in patients with different N stages ($P>0.05$). There was no significant difference in the scores of Kep and fPV among every stages ($P>0.05$). With the increase of total stage, the ADC value of patients with nasopharyngeal carcinoma decreased ($P<0.05$); Spearman Correlation analysis found that Ktrans of patients with nasopharyngeal carcinoma was positively correlated with total stage and M stage, Ve was positively correlated with total stage and T stage, the ADC value was negatively correlated with total stage ($P<0.05$). Among the each parameter, the area under the curve (AUC) of the total stage for the diagnosis of nasopharyngeal carcinoma by Ktrans was the biggest (0.925). The AUC for the diagnosis of nasopharyngeal carcinoma at early (stage II) and late stage (stage III and stage IV) by Ktrans were 0.909 and 0.921, respectively, which were all higher than ADC (AUC=0.864, 0.815). **Conclusion:** DCE-MRI has a high application value in the clinical stage of nasopharyngeal carcinoma. Ktrans has the best diagnostic efficacy and is superior to DWI diagnosis. The higher the tumor stage, the larger the Ktrans, which can be used as an index of tumor staging.

Key words: Dynamic contrast-enhanced magnetic resonance imaging; Nasopharyngeal carcinoma; Stage; Application value

Chinese Library Classification(CLC): R739.6; R445.2 Document code: A

Article ID: 1673-6273(2019)17-3342-05

* 基金项目:四川省教育厅科研基金项目(17ZA0136)

作者简介:白琛(1983-),男,本科,主治医师,研究方向:心血管系统影像诊断及介入放射学,E-mail:122422523@qq.com

(收稿日期:2019-02-08 接受日期:2019-02-28)

前言

鼻咽癌是目前在中国较常见的恶性肿瘤^[1-3],主要采用放疗治疗,随三维适形调强放疗(intensity modulated radiation therapy,IG-IMRT)技术提高,鼻咽癌5年生存率提高至80%^[4,5],但仍有部分患者因局部残留、复发或远处转移而失败,因此明确肿瘤分期对精确地勾选靶区有重要意义^[6]。鼻咽癌发病部位结构较复杂,常与诸多邻近器官相邻,且与颅腔相通,使X线及造影技术仅显示表浅结构及骨质变化,无法明确诊断,此时MRI影像检查在确定鼻咽癌原发病变部位与局部侵犯情况中有重要意义^[7,8]。动态对比增强磁共振成像(dynamic contrast-enhanced MRI,DCE-MRI)可反映肿瘤组织微循环及微血管密度,继而了解肿瘤内部微血管生成情况,弥散加权成像(Diffusion weighted imaging,DWI)也能间接反映活体组织中细胞密度与微结构^[9-11]。本文以DWI为对照,分析DCE-MRI在鼻咽癌临床分期中的应用价值,结果如下:

1 资料与方法

1.1 一般资料

选取2016年6月至2018年4月我院经病理证实的初诊鼻咽癌患者104例,纳入标准:(1)均无MRI检查禁忌症,且经病理证实为鳞状细胞癌;(2)未经放化疗或手术治疗,可耐受鼻咽、颈部DCE-MRI及DWI较长时间检查;(3)对本研究内容知情且签署知情同意书。排除标准:(1)存在MRI检查禁忌症或有造影剂过敏史;(2)病灶小而难以测量参数、扫描时无法配合检查或存在运动伪影者;(3)合并其他咽旁间隙肿瘤或无法配合完成DCE-MRI及病理组织学等检查者。其中男58例,女46例;年龄40~72岁,平均(56.18±5.74)岁;鼻咽癌分期^[5]:①总分期:I期6例,II期4例,III期53例,IVa期35例,IVb期6例,②T分期:T1期36例,T2期19例,T3期26例,T4期23例,③N分期:N0期8例,N1期7例,N2期65例,N3期24例,④M分期:M0期98例,M1期6例。本研究获得我院伦理委员会批准。

1.2 方法

1.2.1 检查方法 患者仰卧于检查床,检查前医师与患者简单交流,嘱其在扫描时头颈部不能有任何移动减少运动伪影,应用Siemens TrioTim 3.0T MRI扫描仪,头颈联合线圈,使患者鼻尖部位于头颈部线圈中央,激光定位线置于鼻尖部,后接受常规T2WI-FS横轴位、DWI横轴位扫描,采用自旋回波扩散加权平面回波成像技术行DWI,b值取0及800 s/m²,层厚:5.0 mm,TR:2900 ms,TE:83 ms,视野(FOV):220 mm。以5°、10°、15°反转角扫描,序列:T1WI Vibe,横断位扫描,层厚:5.0 mm,FOV:270 mm,TE:1.25 ms,TR:3.43 ms,各角度均行一时相扫描,每期取26层图像,总扫描时间:3 min,时间分辨率:6 s。第2期动态扫描完成时再行多期动态增强扫描,序列:T1WI Vibe,横断位扫描,除翻转角为10°外,其他参数均与多反转角扫描一致,共行不间断扫描25期,第2期完成时于经肘静脉团以高压注射器注0.1 mmol/kg钆双胺注射液(中国通用电气医疗集团生产),注射速率:2.5 mL/s,后注射20 mL生理盐水,以对侧

鼻外肌为对照,观察肿瘤病灶灌注情况。

1.2.2 图像分析 应用血流动力学后处理软件Omni Kinetics进行后处理,导入图像,取颅内段颈内动脉,勾画3.0 mm圆,将勾画区域设定为动脉输入函数(AIF)感兴趣区(ROI),获取时间-浓度曲线,然后行血管渗透性定量分析。获取AIF后对病灶层面进行选择,依据AFI拟合模型、血流动力学模型、Extended Tofts Linear双室模型,计算该区域层面血管的伪彩图及渗透参数。此外在西门子工作站得出ADC。两名放射高级职称医师依据《鼻咽癌UICC第7版分期与中国2008分期比较及分期更新建议》^[5]确定分期,本研究将鼻咽癌II期归于早期,将III期、IV期归于晚期。

1.3 观察指标

(1)比较不同鼻咽癌分期患者的DCE-MRI定量参数,包括转运常数(Ktrans)、血管外细胞外间隙体积百分数(Ve)、速率常数(Kep)、容积分数(fPV);(2)分析不同鼻咽癌分期患者的表观扩散系数(ADC)值;(3)分析各DCE-MRI参数、ADC值与临床分期的相关性;(4)评估DCE-MRI各参数及ADC值对鼻咽癌总分期的诊断价值。

1.4 统计学方法

采用SPSS19.0软件处理数据。计量资料以($\bar{x} \pm s$)表示,不同鼻咽癌分期患者DCE-MRI定量参数及ADC值的多组间比较采用单因素方差分析+多重比较LSD-t检验,两组间比较则为成组t检验。各变量间相关性采用Spearman相关分析、以相关系数r表示两资料间的相关性,并绘制受试者工作特征曲线(ROC),评估DCE-MRI各参数及ADC值对鼻咽癌总分期的诊断效能,P<0.05为差异有统计学意义。

2 结果

2.1 DCE-MRI定量参数比较

随总分期增加,鼻咽癌患者Ktrans、Ve增加,且Ve随T分期增加而增加,M1分期者Ktrans、Ve大于M0分期者(P<0.05),不同N分期患者各DCE-MRI参数比较差异无统计学意义(P>0.05),Kep、fPV在各分期中比较差异无统计学意义(P>0.05)。见表1。

2.2 不同鼻咽癌分期患者的ADC值比较

随总分期增加,鼻咽癌患者ADC值减少(P<0.05),不同T分期、N分期、M分期患者ADC值比较差异无统计学意义(P>0.05)。见表2。

2.3 各影像参数与鼻咽癌分期的相关性分析

Spearman相关分析发现,鼻咽癌患者Ktrans与总分期、M分期呈正相关,Ve与总分期、T分期呈正相关,ADC值与总分期呈负相关(P<0.05),Kep、fPV与鼻咽癌各分期无相关性(P>0.05),见表3。

2.4 各影像参数诊断鼻咽癌总分期的效能分析

各影像参数中,Ktrans诊断鼻咽癌总分期的曲线下面积(AUC)最大,其次为Ve、ADC值,Ktrans诊断鼻咽癌的AUC为0.925,灵敏度、特异度分别为0.86、0.85,见表4。Ktrans诊断鼻咽癌早期(II期)、晚期(III期与IV期)的AUC分别为0.909、0.921,均较ADC(AUC=0.864、0.815)高,见图1-2。

表 1 DCE-MRI 定量参数比较

Table 1 Comparison of quantitative parameters of DCE-MRI

Types of staging	Staging results	Ktrans(min ⁻¹)	Kep(min ⁻¹)	Ve	fPV
Total staging	Stage I (n=6)	0.28± 0.04	1.65± 0.18	0.18± 0.02	0.03± 0.01
	Stage II (n=4)	0.31± 0.03	1.62± 0.16	0.20± 0.03	0.02± 0.01
	Stage III(n=53)	0.32± 0.04	1.55± 0.15	0.24± 0.03	0.02± 0.01
	Stage IVa(n=35)	0.36± 0.05	1.52± 0.14	0.30± 0.04	0.02± 0.01
	Stage IVb(n=6)	0.57± 0.06	1.60± 0.17	0.38± 0.04	0.02± 0.01
	F	46.271	1.435	46.064	1.943
	P	0.000	0.228	0.000	0.109
	Stage T1(n=36)	0.35± 0.03	1.54± 0.26	0.19± 0.03	0.020± 0.008
	Stage T2(n=19)	0.36± 0.04	1.46± 0.25	0.25± 0.04	0.018± 0.006
	Stage T3(n=26)	0.33± 0.05	1.43± 0.24	0.27± 0.03	0.022± 0.008
	Stage T4(n=23)	0.34± 0.04	1.49± 0.23	0.33± 0.04	0.017± 0.005
	F	2.353	1.174	80.003	2.477
	P	0.077	0.324	0.000	0.066
N staging	Stage N0(n=8)	0.31± 0.04	1.52± 0.18	0.28± 0.04	0.019± 0.006
	Stage N1(n=7)	0.29± 0.04	1.51± 0.14	0.30± 0.05	0.023± 0.007
	Stage N2(n=65)	0.30± 0.03	1.45± 0.15	0.29± 0.04	0.020± 0.006
	Stage N3(n=24)	0.30± 0.05	1.46± 0.14	0.30± 0.05	0.021± 0.007
	F	1.196	1.402	1.282	1.750
	P	0.315	0.247	0.285	0.162
	Stage M0(n=98)	0.34± 0.04	1.49± 0.15	0.25± 0.03	0.019± 0.003
	Stage M1(n=6)	0.58± 0.06	1.55± 0.17	0.37± 0.04	0.021± 0.004
	F	13.849	0.945	9.335	1.556
	P	0.000	0.347	0.000	0.123

表 2 不同鼻咽癌分期患者的 ADC 值比较

Table 2 Comparison of ADC values of nasopharyngeal carcinoma in different stages

Types of staging	Staging results	ADC value
Total staging	Stage I (n=6)	0.76± 0.08
	Stage II (n=4)	0.72± 0.07
	Stage III(n=53)	0.68± 0.06
	Stage IVa(n=35)	0.64± 0.07
	Stage IVb(n=6)	0.63± 0.06
	F	6.424
	P	0.000
	Stage T1(n=36)	0.64± 0.06
	Stage T2(n=19)	0.65± 0.06
	Stage T3(n=26)	0.67± 0.08
T staging	Stage T4(n=23)	0.68± 0.07
	F	2.115
	P	0.103
	Stage N0(n=8)	0.69± 0.07
	Stage N1(n=7)	0.65± 0.08
	Stage N2(n=65)	0.67± 0.07
	Stage N3(n=24)	0.64± 0.06
	F	1.770
	P	0.158
	Stage M0(n=98)	0.70± 0.08
M staging	Stage M1(n=6)	0.69± 0.07
	F	0.299
	P	0.766

表 3 各影像参数与鼻咽癌分期的相关性分析

Table 3 Correlation between imaging parameters and staging of nasopharyngeal carcinoma

Examination methods	Imaging parameters	Total staging		T staging		N staging		M staging	
		r	P	r	P	r	P	r	P
DCE-MRI	Ktrans	0.345	0.000	0.115	0.027	0.157	0.123	0.320	0.006
	Ve	0.303	0.002	0.320	0.005	0.139	0.195	0.117	0.089
	Kep	0.207	0.103	0.222	0.056	0.142	0.101	0.154	0.116
	fPV	0.216	0.115	0.207	0.071	0.209	0.094	0.215	0.101
DWI	ADC value	-0.297	0.023	0.189	0.142	0.220	0.163	0.214	0.094

表 4 各影像参数诊断鼻咽癌总分期的效能分析

Table 4 Analysis of the efficiency of each imaging parameter in the diagnosis of total staging of nasopharyngeal carcinoma

Examination methods	Imaging parameters	Sensitivity	Specificity	Accuracy	AUC
DCE-MRI	Ktrans	0.86	0.85	0.81	0.925
	Ve	0.82	0.80	0.79	0.804
	Kep	0.69	0.76	0.72	0.728
	fPV	0.71	0.75	0.68	0.627
DWI	ADC value	0.76	0.72	0.59	0.759

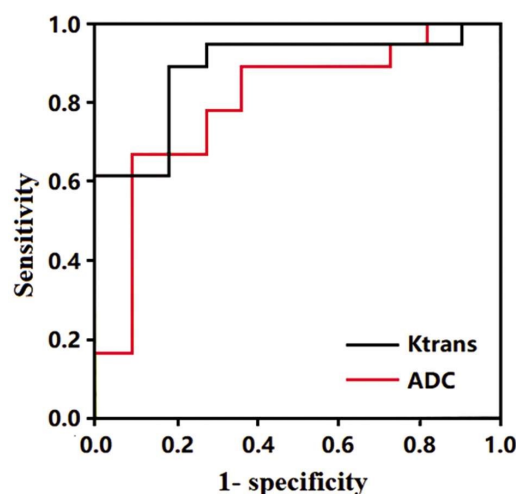


图 1 Ktrans、ADC 诊断鼻咽癌早期的 ROC 曲线

Fig.1 ROC curves of Ktrans and ADC for diagnosis of early nasopharyngeal carcinoma

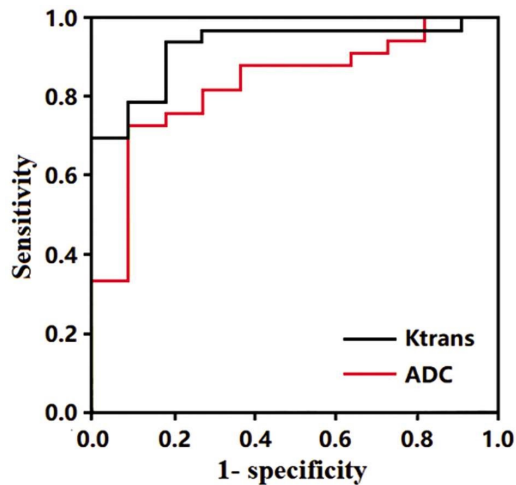


图 2 Ktrans、ADC 诊断鼻咽癌晚期的 ROC 曲线

Fig.2 ROC curves of Ktrans and ADC for diagnosis of advanced nasopharyngeal carcinoma

3 讨论

鼻咽癌为鼻咽部上皮组织癌，是好发于我国南方及东南亚地区常见的头颈部恶性肿瘤^[12,13]。鼻咽的对比剂从 EES 回至血管内的速度，两者与组织内血流量、毛细血管通透性及其表面积均有关^[21,22]，本次研究中 Ktrans 随总分期、M 分期增加而增加，证实 Ktrans 可反映鼻咽癌进展，肿瘤血管生成或渗透性越好，Ktrans 越高。在 T 分期中，本研究中鼻咽癌患者在 T3~T4 期 Ktrans 趋于降低，可能是因为高 T 分期肿瘤体积较大，中心供血量减少甚至坏死，而 Ktrans 值在肿瘤外周部分主要受血流影响，在中央部分主要受渗透面积影响，本研究中计算的 Ktrans 是鼻咽癌瘤灶的整体 Ktrans，有可能因不同 T 分期之间在整体血流量与整体渗透面积上存在差别，导致随 T 分期增高，Ktrans 先增加后有所下降^[23,24]。同时本研究中，Ve 随总分

期、T 分期增加而增加，M1 分期者 Ve 大于 M0 分期者，表明 Ve 也能较好反映鼻咽癌进展，Ve 表示单位体积肿瘤的 ESS 大小，而 ESS 大小对肿瘤侵袭及转移有重要意义，说明 DCE-MRI 可用于探测鼻咽癌的微环境，随分期增大，细胞外基质逐渐溶解，细胞外空间逐渐增大，肿瘤细胞活动空间增大，局部侵犯及转移更易发生，因此分期较高^[25,26]。

DWI 也能间接反映组织内细胞密度及结构，本研究显示随总分期增加，鼻咽癌患者 ADC 值减少，因而 ADC 可用于肿瘤分期评估，其中，肿瘤分期越高，肿瘤细胞增殖速度、细胞体积、密度增加速度越快，肿瘤细胞越易变形，其异质性也多，ESS 减少，因此 ADC 值减少^[27]。本研究 Spearman 相关分析也发现，鼻咽癌患者 Ktrans 与总分期、M 分期呈正相关，Ve 与总分期、T 分期呈正相关，ADC 值与总分期呈负相关，这与既往宋坤等^[28]的研究结果一致，因此 DCE-MRI 各参数及 ADC 值均可用于

评估鼻咽癌分期,推测病变进展,随着肿瘤新生血管增生及细胞增殖加快,肿瘤微循环渗透性提高,V_e、K_{trans}值增加,其通透性提升可促进细胞增殖,增加细胞异质性,致使ADC值降低,因此K_{trans}、V_e、ADC值与鼻咽癌分期表现出较好的相关性。

本研究也发现,各参数中,DCE-MRI中的K_{trans}诊断鼻咽癌总分期的曲线下面积(AUC)最大,为0.925,K_{trans}诊断鼻咽癌早期(Ⅱ期)、晚期(Ⅲ期与Ⅳ期)的AUC分别为0.909、0.921,均较ADC(AUC=0.864、0.815)高,与倪良平^[29]通过研究得出的K_{trans}诊断不同分期鼻咽癌诊断效能、特异性、敏感性均高于ADC值对不同分期鼻咽癌的诊断结果较为接近,故与DWI诊断鼻咽癌相比较,DCE-MRI的诊断效果更为优秀,其原因是由于随肿瘤临床分期及T分期的增加,肿瘤逐渐囊变及坏死,从而对ADC的测量造成影响,由于坏死部位细胞密度小,其弥散显著受限,且ESS、组织脂肪含量及毛细血管床灌注、渗透等易影响ADC值,DCE-MRI不但为扫描系列优化提供参考,还可提供一定的MR功能性参数,从而提高鼻咽癌诊断效能^[30]。

综上所述,DCE-MRI用于鼻咽癌诊断中的价值高于DWI,DCE-MRI中K_{trans}、V_e等参数可较好反映肿瘤进展情况,准确指导临床分期,值得在临床推广实践。

参 考 文 献(References)

- [1] Dai W, Zheng H, Cheung AK, et al. Genetic and epigenetic landscape of nasopharyngeal carcinoma[J]. Chin Clin Oncol, 2016, 5(2): 16-16
- [2] Raab-Traub N. Nasopharyngeal Carcinoma: An Evolving Role for the Epstein-Barr Virus [J]. Curr Top Microbiol Immunol, 2015, 390(1): 339-363
- [3] Petersson F. Nasopharyngeal carcinoma:a review [J]. Semin Diagn Pathol, 2015, 32(1): 54-73
- [4] Moon SH, Cho KH, Lee CG, et al. IMRT vs.2D-radiotherapy or 3D-conformal radiotherapy of nasopharyngeal carcinoma:Survival outcome in a Korean multi-institutional retrospective study (KROG11-06)[J]. Strahlenther Onkol, 2016, 192(6): 377-385
- [5] Xu T, Shen C, Ou X, et al. The role of adjuvant chemotherapy in nasopharyngeal carcinoma with bulky neck lymph nodes in the era of IMRT[J]. Oncotarget, 2016, 7(15): 21013-21022
- [6] Hsin CH, Tseng HC, Lin HP, et al. Post-irradiation otitis media,rhinosinusitis, and their interrelationship in nasopharyngeal carcinoma patients treated by IMRT [J]. Eur Arch Otorhinolaryngol, 2016, 273(2): 471-477
- [7] Zeng L, Tian YM, Sun XM, et al. Intensity-modulated radiotherapy for stage iva/ivb nasopharyngeal carcinoma:clinical outcomes and patterns of failure in an Endemic Area in China [J]. Strahlenther Onkol, 2014, 190(11): 993-1000
- [8] Messer JA, Mohamed AS, Hutcheson KA, et al. Magnetic resonance imaging of swallowing-related structures in nasopharyngeal carcinomapatients receiving IMRT: Longitudinal dose-response characterization of quantitative signal kinetics [J]. Radiother oncol, 2016, 118 (2): 315-322
- [9] 钱秋平.CT与MRI诊断鼻咽癌局部侵犯的价值探讨[J].癌症进展, 2018, 16(6): 773-775
- [10] 王国杰,王颖,叶颖,等.鼻咽癌磁共振高分辨率扩散加权成像表现扩散系数整体直方图参数特征及与肿瘤分期的相关性[J].中华医学杂志, 2017, 97(41): 3244-3249
- [11] 杨忠,徐坚民,龚静山,等.鼻咽癌MRI动态增强及灌注成像与肿瘤T分期的关系[J].中华医学杂志, 2013, 93(15): 1153-1155
- [12] Holliday EB, Frank SJ. Proton therapy for nasopharyngeal carcinoma [J]. Chin Clin Oncol, 2016, 5(2): 25-25
- [13] Spence T, Bruce J, Yip KW, et al. MicroRNAs in nasopharyngeal carcinoma[J]. Chin Clin Oncol, 2016, 5(2): 17-17
- [14] Kang M, Zhou P, Long J, et al. A new staging system for nasopharyngeal carcinoma based on intensity-modulated radiation therapy (IMRT)[J]. Oncotarget, 2017, 8(55): 94188-94196
- [15] 梁忠国,雷昊,陈泽昱,等.鼻咽癌UICC第7版分期与中国2008分期比较及分期更新建议 [J]. 中华放射肿瘤学杂志, 2015, 24(6): 653-658
- [16] 石翔翔,李佳,唐涛,等.鼻咽癌放疗患者生活质量的相关影响因素研究[J].现代生物医学进展, 2016, 16(10): 1911-1914, 1870
- [17] 刘萌.鼻咽癌DCE-MRI定量参数与病理指标的相关性分析[D].福建医科大学, 2016
- [18] Arevalo-Perez J, Peck KK, Young RJ, et al. Dynamic contrast enhanced perfusion MRI and diffusion-weighted imaging in grading of Gliomas[J]. J Euro Imaging, 2015, 25(5): 792-798
- [19] 孟云,程敬亮,张春旺,等.动态增强MRI在鼻咽癌患者预后评估中的作用研究[J].中国CT和MRI杂志, 2016, 14(10): 1-3, 7
- [20] 于小平,李飞平,胡英,等.磁共振动态增强定量参数与鼻咽癌临床分期的关系[J].中华肿瘤杂志, 2015, 37(8): 597-602
- [21] Zheng D, Chen Y, Liu X, et al. Early response to chemoradiotherapy for nasopharyngeal carcinoma treatment:Value of dynamic contrast-enhanced 3.0 T MRI [J]. J Magn Reson Imaging, 2015, 41(6): 1528-1540
- [22] Ni L, Liu Y. Contrast-enhanced dynamic and diffusion-weighted magnetic resonance imaging at 3.0 T to assess early-stage nasopharyngeal carcinoma[J]. Oncol Lett, 2018, 15(4): 5294-5300
- [23] Ai QY, King AD, Law BK, et al. Diffusion-weighted imaging of nasopharyngeal carcinoma to predict distant metastases[J]. Eur Arch Otorhinolaryngol, 2017, 274(2): 1045-1051
- [24] Law BK, King AD, Bhatia KS, et al. Diffusion-Weighted Imaging of Nasopharyngeal Carcinoma: Can Pretreatment DWI Predict Local Failure Based on Long-Term Outcome?[J]. AJNR Am J Neuroradiol, 2016, 37(9): 1706-17012
- [25] 倪良平,刘影.DCE-MRI与DWI对鼻咽癌临床分期诊断价值的比较研究[J].临床放射学杂志, 2016, 35(4): 518-522
- [26] 倪良平,刘影,刘梦秋,等.鼻咽癌:DCE-MRI定量参数与ADC值的相关性[J].实用医学杂志, 2015, 31(23): 3927-3929
- [27] Hou J, Yu X, Hu Y, et al. Value of intravoxel incoherent motion and dynamic contrast-enhanced MRI for predicting the early and short-term responses to chemoradiotherapy in nasopharyngeal carcinoma[J]. Med, 2016, 95(35): e4320
- [28] 宋坤,王华,倪瑞军,等.磁共振动态增强成像定量参数与鼻咽癌临床分期的相关性[J].中国基层医药, 2016, 23(6): 841-843, 844
- [29] 倪良平.3.0T磁共振动态增强与弥散加权成像对鼻咽癌临床分期诊断价值的研究[D].安徽医科大学, 2016
- [30] Lee J, Choi SH, Kim JH, et al. Glioma grading using apparent diffusion coefficient map: application of histogram analysis based on automatic segmentation[J]. Nmr Biomed, 2015, 27(9): 1046-1052